

Используя (4.10), преобразуем (4.4) в выражение, связывающее  $\omega$  и  $u$

$$\omega = 2 Su/d \quad (4.11)$$

В опытах дель-Нунцио  $S = 0.45$ , а  $d = 1.5$  см, следовательно,

$$\omega = 0.6 u$$

т. е. та же зависимость, что и (4.5).

Из результатов экспериментов, приведенных на фиг. 4, следует, что частота пульсаций около неровностей с менее острыми краями характеризуется меньшими числами Струхала  $S_0^*$ . В опытах дель-Нунцио  $S_0^* = 0.11$ , что указывает на достаточно гладкую поверхность эбонитовой трубки, использовавшейся в этих опытах.

Так как модели шероховатостей, испытывавшиеся в гидротомке, подобны характерным неровностям поверхности графитовых моделей, то можно считать, что наиболее вероятные значения чисел Струхала для этих неровностей будут находиться в диапазоне их изменения, полученном в экспериментах на гидротомке, т. е.  $S_0^* = 0.45$ — $0.55$ , а частота пульсаций может определяться по формуле (2.14). Определение частоты пульсаций потока газа в экспериментах с графитовыми моделями, представляющих собой возмущающие колебания по отношению к отдельным зернам, выступающим над поверхностью моделей и образующих их шероховатость, проведенное в предположении равенства частоты этих пульсаций частоте собственных колебаний отдельных зерен, дало число  $S_0^* = 0.5$  (фиг. 4).

Автор благодарит Г. И. Петрова за внимание к работе.

Поступила 26 XI 1965

#### ЛИТЕРАТУРА

1. Великанов М. А. Динамика русловых потоков. Гидрометеоздат, 1946.
2. Эйгенсон Л. Г. Моделирование. Изд. «Наука», 1952.
3. Морозов М. Г., Ершенико В. М., Петров Ю. Н. Течение в застойных зонах на поверхности тел, обдуваемых сверхзвуковым потоком воздуха. Сб. Физическая газодинамика и теплообмен. Изд-во АН СССР, 1961.
4. Кутателадзе С. С. и др. Теплообмен и трение в турбулентном пограничном слое. Изд. СО АН СССР, 1964.
5. Kawaguti M. Numerical solution of the Navier-Stokes. Equation of the flow in two dimensional cavity. J. Phys. Japan, 1961, vol. 16, No. 11.
6. Charwat A. F., Dewey C. F., Jr., Roos Y. N., Hitz Y. A. An Investigation of Separated Flows. J. Aerospace Sci., 1961, vol. 28, No. 6, 7.
7. Прандтль Л. Газодинамика. Изд-во иностран. лит., 1949.
8. Лойцянский Л. Г. Механика жидкости и газа. Физматгиз, 1959.

#### О ПОВЕДЕНИИ КОЭФФИЦИЕНТА ТРЕНИЯ ПРИ ТЕЧЕНИИ СЖИМАЕМОГО ГАЗА В ТРУБАХ ПРИ ОЧЕНЬ БОЛЬШИХ ОТРИЦАТЕЛЬНЫХ ГРАДИЕНТАХ ДАВЛЕНИЯ

М. М. Назарчук, В. Н. Панченко

(Киев)

В работе показано, что при достаточно больших отрицательных градиентах давления коэффициент трения должен возрастать, независимо от того, будет или не будет происходить «ламинаризация» потока.

#### Обозначения

$\xi$ — коэффициент трения;	$U_*$ — предельная скорость;
$M$ — число Маха;	$w$ — скорость одномерного потока;
$\lambda$ — коэффициент скорости;	$u$ — продольная составляющая скорости;
$\tau$ — напряжение трения;	$v$ — поперечная составляющая скорости;
$p$ — давление;	$x$ — продольная координата;
$R$ — число Рейнольдса;	$y$ — поперечная координата;
$S$ — энтропия;	$D$ — диаметр трубы;
$k$ — показатель изоэнтропы;	$r$ — радиус трубы;
$T$ — термодинамическая температура;	$\mu$ — динамическая вязкость;
$\theta$ — температура торможения;	$\nu$ — кинематическая вязкость;
$\omega$ — степень заполненности профиля скоростей;	$\rho$ — плотность.

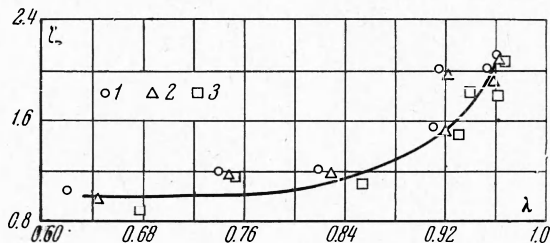
Опытами работы [1] впервые надежно установлена зависимость «одномерного» коэффициента трения  $\zeta_0 = 8\tau_0/\rho w^2$  от числа  $M$  при течении газа в трубах с дозвуковыми скоростями. В этой зависимости скорость  $w$  определялась из одномерного уравнения расхода, а трение на стенке  $\tau_0$  — из одномерного уравнения количества движения. Резкое падение коэффициента трения на стенке  $\zeta_0$  перед кризисом привело А. А. Гухмана к гипотезе о ламинаризации [2]. Явление ламинаризации действительно было обнаружено в некоторых опытах [3, 4].

Между тем, соображения теории пограничного слоя [5, 6] свидетельствуют, что при больших отрицательных градиентах давления коэффициент трения должен возрастать как в случае турбулентных, так и ламинарных течений.

Это приводит к постановке следующей задачи. Найти изменение фактического (а не «одномерного») коэффициента трения при течении газа в трубе.

Были проведены эксперименты по непосредственному измерению  $\tau_0$ , на результаты которых, естественно, не могло повлиять явление ламинаризации. Эксперименты проводились на цилиндрической трубе длиной 2735 мм и диаметром 14,05 мм, которая была установлена вертикально. К трубе присоединялся рабочий участок длиной 300 мм, такого же диаметра, как и труба. На срезе рабочего участка устанавливался подвижный элемент, который под действием сил трения и разности давлений поднимался вверх. Для получения значений  $\tau_0$  при числах  $\lambda$  от 0,6 до 1,0 на подвижный элемент подвешивались дополнительные грузы.

Результаты измерений в виде зависимости  $\xi = \zeta/\zeta_0$  от  $\lambda$  (здесь  $\zeta_0$  — для несжимаемой жидкости) представлены на фиг. 1. На фиг. 1 точки, обозначенные кружками, треугольниками и квадратами, соответствуют различным опытам. В опытах работы [1] показано, что величина  $\zeta_0$  при  $\lambda > 0,80$  должна существенно уменьшаться. Вместе с тем, как видно из фиг. 1, отношение  $\xi$  в области  $\lambda > 0,80$  имеет явно выраженную тенденцию к росту. Так, при  $\lambda = 0,95$  величина  $\xi$  превышает 2, в то время как  $\zeta_0$  по данным



Фиг. 1. Зависимость коэффициента трения ( $\xi = \zeta/\zeta_0$ ) от коэффициента скорости по данным непосредственного измерения напряжения трения на стенке

МО ЦКТИ составляет примерно 0,55. Вряд ли расхождение более чем в 3,5 раза можно объяснить наличием каких-либо предвходящих обстоятельств. При достаточно больших  $\lambda$ , по-видимому, происходит существенная деформация профиля скоростей. Числа  $\lambda$ , с которых начинается ощутимое изменение скоростей, нетрудно найти, исходя из простых соображений.

Найдем изменение энтропии вдоль оси трубы

$$\frac{dS_1}{dx} = -\frac{1}{p} \frac{dp}{dx} + \frac{k}{k-1} \frac{1}{T_1} \frac{dT_1}{dx} \quad (1)$$

где индекс 1 соответствует величинам на оси.

Здесь, как обычно, предполагается, что давление  $p$  — функция только продольной координаты и может быть выражена через  $\lambda$

$$p = \text{const} \frac{1}{\lambda} \left( 1 - \frac{k-1}{k+1} \lambda^2 \right)$$

Кроме того, используя равенство

$$\frac{T_1}{\theta} = 1 - \gamma \lambda_1^2 \quad \left( \gamma = \frac{k-1}{k+1} \right)$$

где  $\theta$  — температура торможения, нетрудно (1) преобразовать к виду

$$\frac{dS_1}{dx} = \frac{1}{\lambda} \Phi_\omega(\lambda) \frac{d\lambda}{dx} + \frac{2k}{k+1} \frac{\lambda^2}{\omega^3 (1 - \gamma \lambda_1^2)} \frac{d\omega}{dx} \quad (2)$$

Здесь  $\omega = \lambda/\lambda_1$  — степень заполненности профиля скоростей.

$$\Phi_\omega(\lambda) = \frac{1 + \gamma \lambda^2}{1 - \gamma \lambda^2} - \frac{2k\lambda^2 / (k-1)}{\omega^2 - \gamma \lambda^2}$$

При каждом фиксированном  $\omega$ , как нетрудно убедиться, функция  $\Phi_\omega(\lambda)$  обращается в нуль при некотором  $\lambda = \lambda_\omega$ . При этом для всех  $\lambda < \lambda_\omega$  она положительна, а для всех  $\lambda > \lambda_\omega$  — отрицательна.

Так как  $dS_1/dx \geq 0$ , то из (2) следует, что  $d\omega/dx > 0$  для всех  $\lambda > \lambda_\omega$ . Следовательно, профиль скоростей начинает заполняться не позднее, чем  $\lambda$  достигает значения  $\lambda_\omega$ . Величина  $\lambda_\omega$  может быть найдена из уравнения

$$\Phi_\omega(\lambda) = 0$$

Отсюда (для воздуха  $k = 1.4$ ) получим

$$\lambda_\omega^2 = 4 - 1/2\omega^2 - \sqrt{(4 - 1/2\omega^2)^2 - 6\omega^2}$$

При значении числа Рейнольдса  $R$  от  $10^5$  до  $10^6$  степень заполненности  $\omega = 0.835 \div 0.865$ , что соответствует  $\lambda_\omega = 0.795 \div 0.830$ .

Как раз при  $\lambda_\omega$  такого порядка и наблюдается начало заметного возрастания  $\xi$  (фиг. 1).

Отметим, что при постановке эксперимента не преследовалась цель получить точные количественные результаты, а имелось в виду лишь оценить характер зависимости  $\xi$  от  $\lambda$  при  $\lambda \rightarrow 1$ . Однако учет, например, вытекания струи снижает  $\xi = 2.07$  (фиг. 1) до  $\xi = 1.87$ , т. е. примерно на 10%, но в то же время не вносит существенных качественных изменений в поведение коэффициента трения.

Можно также оценить  $\tau_0$ , пользуясь данными о распределении статического давления по длине трубы. Такая оценка может быть сделана из приближенного выражения для  $\tau$ , пригодного независимо от того — будет ли поступать ламинаризация или нет.

Введем безразмерные величины. Для продольной координаты  $x$ , поперечной  $y$ , давления  $p$ , скоростей по осям  $u$  и  $v$ , термодинамической температуры  $T$  и температуры торможения  $\theta$ , примем соответственно следующие характерные величины  $r, r\tilde{R}^2, p^0, u, u_*$ ,  $T, \theta$ ; здесь  $R^0 = 1/2 u r/v$ .

Используя уравнение движения для круглой трубы, записанное в безразмерных переменных

$$\rho \left( u \frac{\partial u}{\partial x} + R^0 v \frac{\partial u}{\partial y} \right) = - \frac{k-1}{2k} \frac{dp}{dx} + \frac{1}{2r} \frac{\partial(r\tau)}{\partial y}$$

получим на стенке трубы

$$\left( \frac{\partial \tau}{\partial y} \right)_0 = \tau_0 + \frac{k-1}{k} \frac{dp}{dx} \tag{3}$$

Положим на оси трубы [7]

$$\left( \frac{\partial \tau}{\partial y} \right)_1 = -f_n \tau_0, \quad 0 \leq f_n \leq 1 \tag{4}$$

Условия (3), (4) и условие симметричности ( $\tau_1 = 0$ ) дают возможность представить  $\tau$  в виде полинома третьей степени

$$\tau = \tau_0 (1 + a_1 y - a_2 y^2 + a_3 y^3) \tag{5}$$

Для коэффициентов  $a_1, a_2, a_3$  из трех упомянутых условий имеем

$$a_1 = 1 + \frac{k-1}{k\tau_0} \frac{dp}{dx}, \quad a_2 = 5 - f_n + 2 \frac{k-1}{k\tau_0} \frac{dp}{dx}, \quad a_3 = 3 - f_n + \frac{k-1}{k\tau_0} \frac{dp}{dx} \tag{6}$$

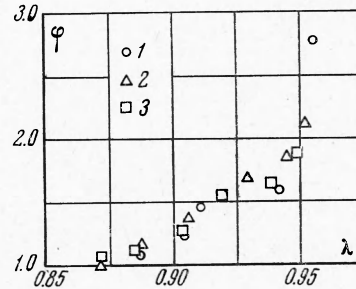
Интегрируя уравнение (5), после подстановки в него значений коэффициентов (6) получим

$$\tau_0 > - \frac{k-1}{8k} \frac{dp}{dx} \quad \left( \int_1^0 \tau dy > 0 \right) \tag{7}$$

Поэтому

$$\xi = \frac{\tau_0}{w} \frac{w_0}{\tau_{00}} > \Phi = - \frac{k-1}{8k} \frac{w_0}{w\tau_{00}} \frac{dp}{dx}$$

Здесь нижним индексом 0 обозначено начальное сечение трубы, в качестве которого принималось сечение, расположенное на расстоянии 50 калибров от входа. Результаты расчетов в виде зависимости  $\Phi$  от  $\lambda$  представлена на фиг. 2. Как видно, получается значительный рост  $\Phi$ , следовательно и  $\xi$ , что качественно согласуется с экспериментальными результатами.



Фиг. 2. Зависимость величины  $\Phi$  от коэффициента скорости. Градиенты давления по данным МО ЦКТИ

Таким образом, независимо от того, имеет место эффект ламинаризации или нет, коэффициент трения при достаточно больших  $|dp/dx|$  становится больше, чем в начале развитого участка течения.

Авторы благодарят С. С. Кутателадзе и А. И. Леонтьева за ряд замечаний при обсуждении работы.

Поступила 15 II 1966

#### ЛИТЕРАТУРА

1. Г ан д е л ь с м а н А. Ф., Г у х м а н А. А., И л ю х и н Н. В., Н а у р и ц Л. Н. Исследование коэффициента сопротивления при течении с околзвуковой скоростью. Ж. техн. физ., 1954, № 12.
2. G u k h m a n A. A. Application of the entropy method to investigation of transonic adiabatic flows. Internat. J. Heat Mass Transfer, 1962, vol. 5.
3. Д е й ч М. Е., К о х А. А., Р о б о ж е в А. В., С т е п а н ч у к В. Ф. Исследование структуры потока в ступени эжектора с изобарическим начальным смещением. Теплоэнергетика, 1954, № 12.
4. Д е й ч М. Е., Л а з а р е в Л. Я. Исследование перехода турбулентного пограничного слоя в ламинарный. Инж.-физ. ж., 1964, т. № 4.
5. Л о й ц я н с к и й Л. Г. Ламинарный пограничный слой. Физматгиз. 1962.
6. К у т а т е л а д з е С. С., Л е о н т ь е в А. И. Турбулентный пограничный слой сжимаемого газа. Изд. СО АН СССР, 1962.
7. Н а з а р ч у к М. М. Течения газа в каналах при наличии теплообмена. Изд. АН УССР, 1963.

#### ОСЕСИММЕТРИЧНОЕ ТЕЧЕНИЕ В ТОНКОМ СЛОЕ ЖИДКОСТИ НА ПОВЕРХНОСТИ ВРАЩАЮЩЕГОСЯ ТЕЛА ВРАЩЕНИЯ

*Н. С. Хамилова*  
(Новосибирск)

Рассматривается задача, поставленная в [1], в которой была получена система уравнений, описывающая течение тонкого слоя жидкости на поверхности вращающегося тела вращения в подвижной системе координат, связанной с телом. Сохраняя обозначения [1], в этой заметке будем рассматривать только осесимметричное течение.

Анализ уравнений (2.3), (2.9), (2.10) работы [1], записанных в характеристической форме, показывает, что при расчете неустановившегося осесимметричного течения в трубе конечной длины нужно задавать два граничных условия слева и одно справа, если течение «докритическое», т. е.  $v_1 < \sqrt{f}h$ , или три граничных условия слева, если течение «сверхкритическое», т. е.  $v_1 > \sqrt{f}h$ .

При конкретном выборе граничных условий в случае установившегося осесимметричного течения представляет интерес исследование возможных форм свободной поверхности.

В системе (2.3), (2.9), (2.10) положим  $j = 0$  и  $q = 0$ . Введем новую переменную  $Q = v_1 h$ . Тогда, интегрируя уравнение неразрывности, получим  $Q = c/R(x)$ , где  $c = \text{const}$ . При этом (2.9) преобразуется к виду

$$\frac{dh}{dx} = \left( \frac{R'}{\sqrt{1-R'^2}} f - \frac{QQ'}{h^2} - \frac{\lambda}{8h^2} vQ \right) \left( f - \frac{Q^2}{h^3} \right)^{-1} \quad (1)$$

Введем понятие критической глубины, определяемой из условия  $fh_k^3 = Q^2 = c^2/R^2$  при заданном  $Q$ . Если  $h > h_k$ , то режим течения является докритическим, при  $h < h_k$  — сверхкритическим.

Введем величину

$$f_1 = \frac{f}{\sqrt{1-R'^2}} = R \left( \omega + \frac{v_2}{R} \right)^2 > 0$$

Глубину  $h_n$ , удовлетворяющую уравнению

$$\left( f_1 + \frac{c^2}{R^3 h_n^2} \right) R' - \frac{\lambda}{8h_n^2} \frac{c}{R} \left( v_2^2 + \frac{c^3}{R^2 h_n^3} \right)^{1/2} = 0 \quad (2)$$

условно назовем «нормальной глубиной».

При  $\lambda = 24/Re$ , соответствующим ламинарному режиму течения в слое, уравнение (2) записывается в виде

$$f_1 h_n^3 + \frac{c^2}{R^3} h_n - \frac{3vc}{R'R} = 0 \quad (3)$$